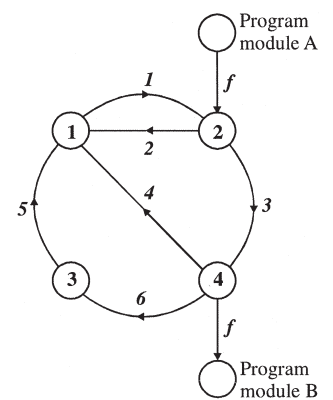
Optimalizační úlohy v hierarchických decentralizovaných řídicích systémech (4)

4.5 Generalizovaný popis datových toků

Obecně platí, že pro daný datový tok f (na obr. 12 je znázorněn datový tok mezi programovými moduly A a B, přičemž datový modul A je mapován/spouštěn na HW zdroji č. 2 a datový modul B je mapován/spouštěn na HW zdroji č. 4) může být rozšířen redukovaný systém rovnic tak, že do vrcholu č. 2 vstupuje nová hrana f a z vrcholu č. 4 vystupuje nová hrana f.

Tyto dvě hrany se po aplikování vzorce (2) promítnou do levé stravy rovnic, přičemž datový



Obr.12 Datový tok f přes HW strukturu

(7)

tok f je numerická konstanta a převedeme ho na pravou stranu. Po úpravě systému rovnic obdržíme:

$$\begin{pmatrix} -1 & 1 & 0 & 1 & 1 & 0 \\ 1 & -1 & -1 & 0 & 0 & 0 \\ 0 & 0 & 1 & -1 & 0 & -1 \end{pmatrix} \cdot \begin{vmatrix} x_1 \\ x_2 \\ x_3 \\ x_4 \\ x_5 \\ x_6 \end{vmatrix} = \begin{bmatrix} 0 \\ -f \\ +f \end{bmatrix}$$

4.6 Mapování grafu požadavků programového vybavení na graf HW struktury DCS

Pro řešení optimalizační úlohy optimálního směrování paketů v rámci hierarchických decentralizovaných řídicích systémů respektive klasických decentralizovaných řídicích systémů je nezbytné řešit úlohu optimálního mapování programových modulů (datové toky {a, b, c}) na HW strukturu DCS.

Vzhledem k tomu, že mapovací, respektive přiřazovací problém vyžaduje rozšíření teorie na úlohu MILP, nebudeme se zde mapovacím problémem zabývat. Z tohoto důvodu explicitně definujeme mapovací schéma, přičemž z tohoto mapovacího schématu budeme vycházet jako z apriorní znalosti. Proto definujeme explicitní mapování následovně:

Vrchol (I)
$$\rightarrow$$
 Vrchol(1)
Vrchol (II) \rightarrow Vrchol (2)
Vrchol (III) \rightarrow Vrchol (4)

4.7 Popis datových toků grafu požadavků programového vybavení

Pro každý datový tok z vektoru $\{a, b, c\}$ definovaných v grafu požadavků programového vybavení může být zapsána nezávislá rovnice. Tato rovnice vznikne z matematické reprezentace podle rovnice (7) pro každý datový tok nezávisle.

Datový tok *a*:

$$\begin{pmatrix}
-1 & 1 & 0 & 1 & 1 & 0 \\
1 & -1 & -1 & 0 & 0 & 0 \\
0 & 0 & 1 & -1 & 0 & -1
\end{pmatrix} \cdot \begin{bmatrix}
x_1^a \\
x_2^a \\
x_3^a \\
x_4^a \\
x_5^a \\
x_6^a
\end{bmatrix} = \begin{bmatrix}
-a \\
a \\
0
\end{bmatrix}$$
(8)

Datový tok b:

$$\begin{pmatrix}
-1 & 1 & 0 & 1 & 1 & 0 \\
1 & -1 & -1 & 0 & 0 & 0 \\
0 & 0 & 1 & -1 & 0 & -1
\end{pmatrix} \cdot \begin{bmatrix}
x_1^b \\ x_2^b \\ x_3^b \\ x_4^b \\ x_5^b \\ x_6^b\end{bmatrix} = \begin{bmatrix}
b \\ -b \\ 0
\end{bmatrix}$$
(9)

Datový tok o

$$\begin{pmatrix}
-1 & 1 & 0 & 1 & 1 & 0 \\
1 & -1 & -1 & 0 & 0 & 0 \\
0 & 0 & 1 & -1 & 0 & -1
\end{pmatrix} \cdot \begin{bmatrix}
x_1^c \\ x_2^c \\ x_3^c \\ x_4^c \\ x_5^c \\ x_6^c\end{bmatrix} = \begin{bmatrix}
-c \\ 0 \\ c
\end{bmatrix}$$
(10)

Literatura

(vybrané tituly)

[4] BRADÁČ, Z., FIEDLER, P., ZEZULKA, F.: New methods of interconnection of industrial fielbuses, Proc. of IFAC Workshop on Programmable devices and systems – PDS 2000, 8th – 9th February 16, 2000, Ostrava

[5] OSTROFF, J.: Formal Methods for the Specification and design of Real-Time Safety-Critical Systems, J.P.Bowen and Michael G.Hinchey: High-Integrity System Specification and Design. Springer-Verlag London, 1999

Pokračovanie v budúcom čísle.

Ing. Zdeněk Bradáč Ing. Václav Jirsík, CSc.

VUT FEKT Brno
Božetěchova 2, 612 66 Brno, ČR
e-mail: bradac@feec.vutbr.cz
jirsik@feec.vutbr.cz

